

05.4

О СТАБИЛЬНОСТИ СВЕРХПРОВОДЯЩЕЙ ФАЗЫ $YBa_2Cu_3O_x$

Э.Н. С о б о л ь

Известно, [1, 2], что в системе $Y-Ba-Cu-O$ сверхпроводящая фаза стабильна в определенной области температур (T_h, T_k), т.е. распад этой фазы происходит как при нагреве, так и при охлаждении. Вопрос об устойчивости соединения $YBa_2Cu_3O_x$, обозначенного ниже N , в процессе охлаждения до сих пор не рассматривался, хотя от его решения, очевидно, зависит возможность практического использования высокотемпературных сверхпроводников (ВТСП). В настоящей работе анализируется кинетика низкотемпературного распада сверхпроводящей фазы; предлагается механизм неустойчивого разложения и обсуждаются условия повышения стабильности ВТСП.

В соответствии с экспериментальными результатами [1] в системе $Y-Ba-Cu-O$ возможны четыре химические реакции распада соединения N с выделением кислорода:



Соответствующие изменения энталпии ΔH и энтропии ΔS приведены в таблице.

№ реакции	1	2	3	4	5	6
ΔH , КДж(моль) $^{-1}$	174.8	-3.6	-15.6	-6.4	-25.6	149.2
ΔS , Дж(моль K) $^{-1}$	130.8	-3.5	-39.3	-25.0	-67.8	63.0

Реакцией (1) описывается разложение при нагреве, реакции (2)–(4) отвечают распаду в процессе охлаждения. В строке 5 таблицы стоят суммы термодинамических функций для реакций (2)–(4). Стока 6 получена суммированием данных для реакций (1)–(4).

Согласно теории химического равновесия, давление кислорода на поверхности раздела фаз определяется соотношением

$$\rho_p = \rho_0 \exp\left(-\frac{\Delta H}{RT}\right), \quad \rho_0 = \rho_a \exp\left(\frac{\Delta S}{R}\right). \quad (5)$$

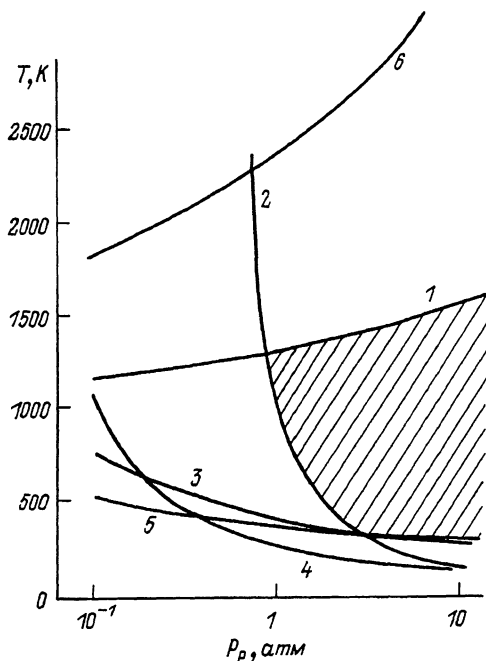


Рис. 1. Область термодинамической устойчивости $\text{YBa}_2\text{Cu}_3\text{O}_x$ (заштрихована). Номер кривой соответствует номеру столбца в таблице.

Здесь P_α — атмосферное давление. Зависимости $T(P_p)$ представлены на рис. 1. В заштрихованной области все четыре реакции приводят к синтезу N . Область „абсолютной“ устойчивости расширяется при увеличении внешнего давления P_β . Вне этой области по крайней мере одна реакция приводит к распаду. И хотя ниже кривой 6 выделившемуся кислороду термодинамически выгодно вступить в химическую реакцию с образованием N , процесс синтеза не становится преобладающим, поскольку кислород в значительной степени успевает покинуть систему.

При рассмотрении кинетики распада будем считать, что он лимитируется массопереносом кислорода через пористые слои продуктов реакции [3, 4]. В изотермических условиях решение уравнения массопереноса [4] дает

$$k_p t (P_p - P_b) \mathcal{D} = Ts^2, \quad k_p = 8M(R_f)^{-1}. \quad (6)$$

Здесь t — время распада соединения N в слое толщиной s ; \mathcal{D} — эффективный коэффициент массопереноса; M, g — молекулярный вес и плотность керамики; R — газовая постоянная.

Принимая во внимание различные механизмы переноса кислорода в пористых слоях [3], запишем с учетом (5)

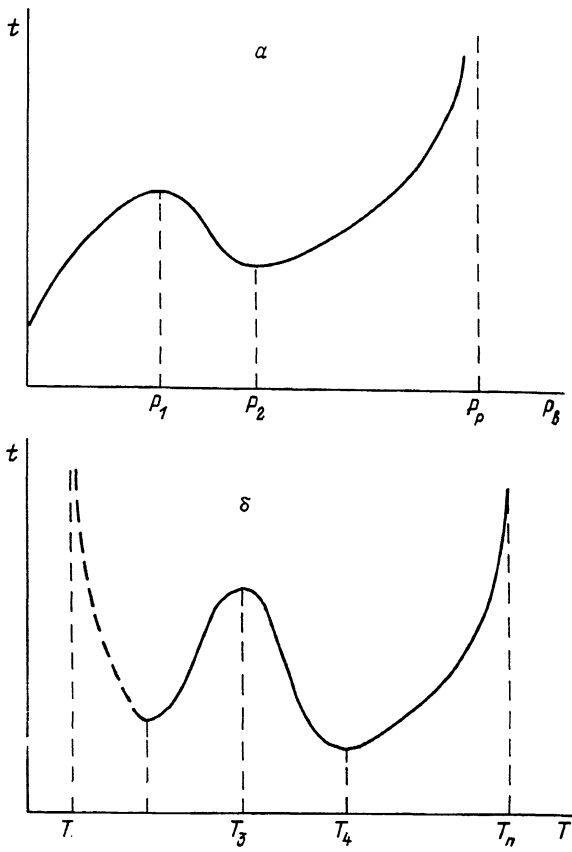


Рис. 2. Характер зависимостей стабильности сверхпроводящей фазы от внешнего давления (а) и от температуры (б).

$$D = D_0 \exp\left(-\frac{E}{RT}\right) + A_1 \exp\left(\frac{U}{T}\right) + \quad (7)$$

$$+ \left[\frac{A_2}{\sqrt{T}} + \frac{A_3}{T^\alpha} \left(P_b + P_0 \exp(U/T) \right) \right]^{-1} + A_4 P_b,$$

Где D_0 , E , U , A_1 , A_2 , A_3 , A_4 , α – постоянные [3, 4]. Подставив (7) в (6), получим зависимости величины t (как меры стабильности) от T и P_b . В силу изменения преобладающих механизмов массопереноса газов эти зависимости носят немонотонный характер (рис. 2). Увеличение внешнего давления тормозит процесс разложения, который прекращается при $P_b \geq P_p$. Однако существует область давлений (P_1, P_2) , в которой рост P_b облегчает распад, что связано с преобладающей ролью фильтрации кислорода, интенсивность которой растет с увеличением давления. Величина P_p воз-

растает при охлаждении. Так, для полного подавления распада требуется внешнее давление 8.2 атм при $T = 300$ К, а при $T = 200$ К $\rho_p = 1.4 \cdot 10^3$ атм. Функция $t(\rho)$ имеет максимум при $\rho_1 = \rho_2$ и минимум при $\rho_3 = \rho_2$. Для характерного размера пор 0.2 мкм при $T = 300$ К формула (6) дает $\rho_1 = 0.2$, $\rho_2 = 4$ атм. В соответствии с (6) температурная зависимость стабильности также может иметь два экстремума при T_3 и при T_4 , т.е. в определенных условиях небольшой нагрев ВТСП может привести к более интенсивному распаду, чем значительное повышение температуры. Оценка при $\rho_3 = 0.1$ атм дает $T_3 \approx 600$ К. С повышением ρ_3 величины T_3 , T_4 возрастают, и при $T_3 > T_4$ зависимость $t(T)$ должна стать монотонной.

Наличие экстремума при $T = T_2$ не следует из формул (6), (7), которые перестают быть применимыми при достаточно малых T . Замедление распада при низких температурах может быть связано с неприменимостью законов Пуазеля и Дарси, а также с лимитирующей ролью процессов на границе раздела фаз. В последнем случае скорость движения фронта химической реакции определяется выражением [4]

$$\nu = v_0 \exp[-E(RT)^{-1}] , \quad (8)$$

где v_0 – величина порядка скорости звука, E – энергия активации перестройки решетки, близкая к энергии активации твердотельной диффузии [5].

Потребовав условия, при котором характерное время распада с слоя ВТСП толщиной s не превышало бы t_p , т.е. задав предельную скорость разложения $\nu_p \approx st_p^{-1}$, получим из (8) предельную температуру

$$T_p = E \left[R \ln(v_0 v_p^{-1}) \right]^{-1} . \quad (9)$$

При $s = 10^{-5}$ см, $t_p = 10^5$ с, $v_0 = 3 \cdot 10^5$ см/с формула (9) дает $T_p = 87$ К для $E = 28.9$ кДж(моль) $^{-1}$ [6] и $T_p = 379$ К для $E = 126$ кДж(моль) $^{-1}$ [7].

В силу резкой зависимости $\nu(T)$ величину T_p можно рассматривать в качестве температуры стабилизации ВТСП процессами на межфазной границе (отклонение температуры от T_p на 10% меняет время распада на порядок). Значение T_p определяется величиной E (которая зависит от состава и структуры образца) и, как показали оценки (при небольших E), может лежать в области критических температур сверхпроводника. При $T > T_p$ стабильность системы определяется рассмотренной выше кинетикой переноса кислорода. При достаточно низких температурах на стабильность существенное влияние должны оказывать процессы конденсации и замерзания кислорода, выделяющегося в результате разложения ВТСП. При атмосферном давлении кислород конденсируется при $T_m = 90$ К и затвердевает при $T_s = 54$ К [8]. При разложении давление кислорода может существенно превышать ρ_α , что приводит к увеличению T_m и T_s . Например, при 10 атм $T_m = 120$ К.

Конденсация кислорода значительно замедляет массоперенос и выделение его из системы. Поэтому повышение стабильности ВТСП при низких температурах (штрихи на рис. 2, б). может быть связано с конденсацией газа и зависит от тепловой стабильности системы.

Нагрев переводит кислород в газообразное состояние и резко ускоряет процесс распада. Поскольку при разложении N выделяется тепло, способствующее газификации кислорода, распад может носить неустойчивый характер. Для стабилизации N важно обеспечить хороший теплоотвод и поддерживать оптимальный [с учетом экстремумов функций $t(T)$ и $t(\rho)$] режим хранения и работы. Уменьшение размера пор r ВТСП должно увеличивать стабильность, так как поры, во-первых, облегчают массоперенос (ускоряют распад) и, во-вторых, теплоизолируют отдельные области, что способствует развитию рассмотренной выше газотермической неустойчивости. Увеличение критического тока в ВТСП при уменьшении r и снижение стабильности при общем увеличении пористости керамики наблюдалось в экспериментах [9]. Уменьшением количества дефектов структуры ВТСП, увеличением энергии активации диффузии и улучшением условий теплоотвода может быть объяснена также более высокая стабильность тонких пленок $YBa_2Cu_3O_x$ по сравнению с массивными образцами и пленками, имеющими крупнокристаллическую структуру [10].

В заключение выскажем предположение, что проявление неустойчивости, связанной с газификацией конденсированного кислорода, может быть одной из причин относительно невысокой стабильности ВТСП с температурой перехода $T_c > 90$ К. Можно ожидать, что увеличение дисперсности структуры, создание когерентных межфазных границ, а также оптимизация внешних условий (температуры и давления) будут способствовать повышению стабильности таких систем.

Автор выражает признательность В.Н. Баграташвили и А.Н. Жерихину за постоянное внимание к работе и плодотворное обсуждение результатов.

Список литературы

- [1] Fitzner K., Chang Y.A. // High-Temperature Superconductors II. Pittsburgh, USA, 1988. P. 285-288.
- [2] Chen L. // Sol. St. Ionics. 1988. V. 28-30. P. 1745-1749.
- [3] Соболь Э.Н. // Письма в ЖТФ. 1984. Т. 10. В. 1. С. 40-44.
- [4] Соболь Э.Н. // Письма в ЖТФ. 1989. Т. 15. В. 8. С. 80-84.
- [5] Кристиан Дж. Теория превращений в металлах и сплавах. М.: Мир, 1978. 806 с.
- [6] Park J.H., Kostic P., Singh J.P. // Mater. Lett. 1988. V. 6. N 11-12. P. 393-397.

- [7] Оськина Т.Е., Третьяков Ю.Д., Солдатов Е.А. // Сверхпроводимость. Физика, Химия, Техника. 1989. Т. 2. В. 3. С. 24–29.
- [8] Самсонов Г.В. Физико-химические свойства элементов. Киев: Наукова думка, 1965. 807 с.
- [9] Cheng C.W., Rose-Innes A.C. // Supercond. Sci. Technol. 1988. V. 1. N 3. P. 113–117.
- [10] Гаспаров В.А., Дите А.Ф., Овчинников И.М. и др. // Сверхпроводимость. Физика, Химия, Техника. 1989. Т. 2. В. 2. С. 18–19.

Поступило в Редакцию
15 апреля 1989 г.

В окончательной редакции
21 июля 1989 г.

Письма в ЖТФ, том 15, вып. 20

26 октября 1989 г.

06.3

ФОТОХРОМНЫЙ ЭФФЕКТ В ЛЕГИРОВАННЫХ КРИСТАЛЛАХ $Bi_{12}SiO_{20}$

Т.В. Панченко, Ю.Г. Осечкий

Фоточувствительные электрооптические кристаллы $Bi_{12}SiO_{20}$ (*B₁₂SO*) эффективно используются в качестве реверсивных сред в устройствах голограмм [1]. Согласно [2], запись и хранение информации обеспечивают фотохромный эффект (ФХЭ). При комнатной температуре ФХЭ чистых кристаллов *B₁₂SO* очень слаб. В [3] показано, что легирование кристаллов *B₁₂SO* ионами *Mn* и *Cr* усиливает ФХЭ, однако в [4] они не были обнаружены. Очевидно, условия существования ФХЭ зависят не только от вида примеси, но и от степени легирования, однако возможность оптимизации характеристик ФХЭ кристаллов *B₁₂SO* путем легирования различными ионами переходных металлов не изучалась.

В данной работе представлены сравнительные характеристики ФХЭ кристаллов *B₁₂SO*, легированных ионами *Mn*, *Cr* и *Fe* (*B₁₂SO : Mn*, *B₁₂SO : Cr*, *B₁₂SO : Fe* соответственно).

Кристаллы выращивались методом Чохральского. Оптически однородные, не содержащие видимых включений и напряженных областей при контроле поляризационно-оптическим методом под микроскопом кристаллы *B₁₂SO : Mn*, *B₁₂SO : Cr* и *B₁₂SO : Fe* были получены при содержании примеси в шихте в количестве $3 \cdot 10^{-2}$ – $5 \cdot 10^{-1}$, $6 \cdot 10^{-4}$ – $2 \cdot 7 \cdot 10^{-2}$ и $5 \cdot 10^{-3}$ – $2 \cdot 10^{-1}$ мас% соответственно. Технология выращивания всех кристаллов идентична описанной в [5]. Следует